



RG-9051.- Contacto irregular (erosivo) de las areniscas y conglomerados (13), con las arcillas rojizas arenosas (12)



RG-9052.- Detalle de la fotografía anterior.



RG-9053.- Detalle del contacto entre las areniscas y conglomerados (13) y las arcillas rojas (12)

RG-9054.- Detalle del contacto y de las facies anteriormente mencionadas.





RG-9055.- Contacto entre las areniscas y conglomerados (13) y las gravas y arenas rojas (15)



RG-9056.- Detalle del anterior.
Véanse algunas
morfologías de canal



RG-9057.- Contacto erosivo con canales llenos de gravas entre las facies de gravas y arenas rojas (15) y las areniscas y conglomerados

RG-9058.- Contacto entre las arenas y conglomerados (15) y arenas areniscosas y los



RG-9058.- Detalle de la anterior

Es posible observar que la parte inferior
de la roca se desgasta como se muestra
en la foto.



RG-9059.- Contacto entre las areniscas y conglomerados (13) tonos amarillos y las gravas y arenas rojas (15)

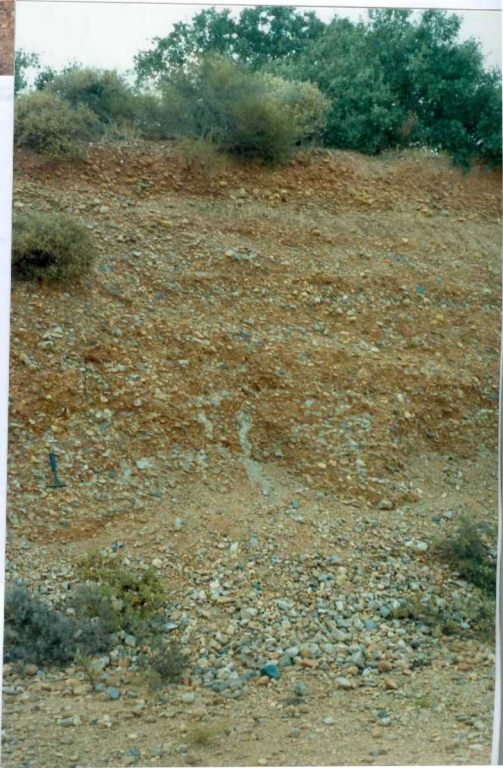


RG-9060.- Detalle de la anterior. Véase en la parte derecha de la foto las morfologías cuneiformes de las gravas; esto se interpreta como zonas diagonales de lóbulos de un abanico aluvial.



RG-9061.- Facies de las arenas y gravas rojas (15). Se aprecian varios ciclos deposicionales granodecrescentes.

RG-9062.- Facies de gravas y arenas rojas (15). Aspecto masivo donde los cantos están autosoportados.





RG-9063.- Gravas y arenas rojas (15) con dominio de estas últimas.



RG-9064.- Facies de arenas y gravas (15).



RG-9065.- Detalle de la foto anterior. El canto es el que está incrustado en el talud a la izquierda del lápiz en la foto anterior.



RG-9066.- Contacto de las areniscas y conglomerados (13) con las arcillas rojas (12). El talud de la carretera está sometido a un fuerte deslizamiento de ladera.



RG-9067.- Areniscas (derecha), conglomerados, gravas, arenas, limos localmente arcillas (13). Se observan estratificaciones cruzadas de orden métrico, que se interpretan son debidas a migración de barras arenosas.



(13). Véase las conchas de ordenamiento interno (estat., crónicas) en

RG-9068.- Detalle de la fotografía anterior.



RG-9069.- Facies de gravas y arenas (15). Cantos autosoportados.

RG-9070.- Areniscas y conglomerados (13), sobre ellos las gravas y arenas rojas (15). Véanse las estructuras de ordenamiento interno (estrat. cruzadas) en las gravas y arenas rojas.





RG-9071.- Detalle de la foto anterior.



RG-9072.- Arcillas rojas (12) con niveles de gravas intercalados.



RG-9073.- Detalle de la fotografía anterior.



RG-9074.- Canteras de calizas de probable edad Carbonífero Inferior (7), para obtención de cal.



RG-9075.- Horno de cal y producción eventual de la misma, envasada en sacos de plástico rojo.



RG-9076.- Gravas finas y areniscas de carácter arcósico (13), donde se adivina una tenue laminación horizontal.



RG-9077.- A techo de los niveles de areniscas, suelen aparecer ocasionalmente niveles de limos arcósicos que presentan estructuras de bioturbación.



RG-9078.- Dinámica fluvial del Río Alcazaba. En primer término las arcillas rojas (12) con morfología de glacis.



RG-9079.- Dinámica fluvial del Río Alcazaba. A la izquierda la superficie estructural son las areniscas y gravas (13). El rastrojo, a la izquierda del canal fluvial son las arcillas rojas (12) y glacis asociados (25).



RG-9080.- Canal fluvial del Río Alcazaba (22), donde está el coche.



RG-9081.- Afloramientos residuales de areniscas arcósicas y gravas (13)



RG-9082.- Canal fluvial antiguo (arboleda y badén del camino) (21).



RG-9083.- Terrazas 1^a y 2^a, restituidas por las labores agrícolas.



RG-9084.- Canal fluvial antiguo (21). Sirve actualmente de drenaje a las zonas de regadío (maices).



RG-9085.- Areniscas y gravas (13). Tipo de facies que aparecen en la mitad septentrional de la Hoja de Montijo.



RG-9086.- Detalle de la foto anterior.



RG-9087.- Areniscas y conglomerados (13). Morfología ondulada de estratos.



RG-9088.- Detalle de la anterior.



RG-9089.- Canal fluvial del Río Guerrero, excavado sobre las arcillas rojas (12). En los márgenes terraza 3^a (18).



RG-9090.- Detalle de la anterior.



RG-9091.- Superficie estructural parcialmente degradada (terrazza 4^a (17)).



RG-9092.- Arcillas rojas (12). Véanse las grietas de retracción que producen los suelos arcillosos instalados sobre estos sedimentos.



RG-9093.- Afloramiento residual de areniscas y gravas (13), de 1,5 m, sobre las arcillas rojas (12).



RG-9094.- Contacto entre las areniscas y conglomerados (13) y las arcillas rojas (12).



RG-9095.- Detalle de la fotografía anterior.

Este terreno es degradado y se ha perdido la vegetación.

Este terreno es degradado y se ha perdido la vegetación.

Este terreno es degradado y se ha perdido la vegetación.



RG-9096.- Areniscas y conglomerados (13), con abundantes estratificaciones cruzadas.



RG-9097.- Detalle de la fotografía anterior. Las estratificaciones cruzadas son de gran ángulo y se interpretan están ligadas a barras arenosas (lobuladas?). El sentido de progradación es hacia el Oeste (izquierda).



RG-9098.- Draga extrayendo grava de un canal secundario del Río Guadiana (21).



RG-9099.- Acopio y selección de grava para áridos de construcción.



RG-9100.- Areniscas y conglomerados (13) de Lobón. Abundantes estratificaciones cruzadas en artesa.



RG-9101.- Detalle de la fotografía anterior. Cada set de láminas cruzadas suele culminar con un horizonte lutítico que en ocasiones evidencia bioturbación (donde está el martillo); esto se interpreta que está asociado a un periodo de encharcamiento cuando cesa la corriente fluvial.



RG-9102.- Detalle de la fotografía anterior.



RG-9103.- Areniscas y conglomerados (13). Progradación de megarripples o barras arenosas, hacia el Oeste.

RG-9104.- Idem. fotografía anterior.

